

理論式과 經驗式에 依한 DIESEL 機関 軸의 周轉 剛性係數 比較에 關한 研究

宋 江 豪

A Study on the Comparison between the Theoretical and the Empirical Stiffness of the Diesel engine Crankshafts

Sung Kang Ho

..... 目 次

- | | |
|--------------|-------------------------|
| 1. 導論 | 6. 實軸系의 適用 |
| 2. 五臂五軸系統 簡化 | 7. 結論 |
| 3. 影響係數 | Appendix 1. 理論試験 試験 |
| 4. 影響係數의 評算 | Appendix 2. 實軸系의 周轉剛性係數 |
| 5. 數値計算 | Appendix 3. 評算結果에 關한 說明 |

Abstract

Torsional vibration problems of the Diesel engine crankshafts have been studied since about 1920. Actual diesel engine crankshafts are so complex and complicated in shape and dimension, that some empirical formulas, not the theoretical ones, are used to calculate their torsional frequencies.

If their shapes and dimensions are very different from primary one, these empirical formulas are unreliable. It will require a lot of time and cost to derive new formulas. So, more reliable empirical formulas. In order to eliminate it, the author derived a theoretical formula of any single crank throw is derived in this paper.

A table shows the influence numbers and their reciprocals for the above five crank throws. The reciprocals mean the stiffnesses. The stiffnesses are calculated by several empirical formulas and author's theoretical one. Except the value of one Fleischer's value, the other theoretical values are rather nearer than any other empirical ones to the manufacturer's ones, which may be considered the most accurate.

By means of applying this value to Hooke's law, the stiffnesses of the real shafts for a real shaft system of the above mentioned five crank throws are calculated. It is shown that the theoretically calculated values are slightly larger than those obtained from the manufacturer's calculated ones.

1. 序 論

近來 船舶의 大形化에 따라 塔載하는 主機의 所要馬力도 增加하게 되어 大形 大馬力의 Diesel 機關이 出現하게 되었다. 이와같은 Diesel 機關의 大形화와 馬力의 增大는 機關의 部品構造나 全體構造에 있어서 剛性向上이 큰 問題點이 되고, 從來까지는 問題로 삼지 않았든 새로운 振動問題들이 登場하게 되었다.

Diesel 機關 크랑크軸의 비틀림振動에 關해서는 大略 1920年頃 부터 相當圓板, 相當軸의 置換에 依한 Holzer 解法等이 發達하고, Geiger 振動計 等으로 測定한 豐富한 資料에 依한 立證으로 共振狀態를 比較的 正確하게 推定할 수 있게 되었다.

크랑크軸의 形狀은 複雜함으로 大部分이 實驗結果를 加味한 經驗式을 使用하고 있다. 이들의 經驗式은 크랑크軸의 形狀이나 치수가 從來의 것과 顯著한 差異가 있을 때 信憑性이 稀薄해질 것이다, 이런 變化에 對處할 수 있는 信賴性있는 새로운 經驗式을 얻기 為해서는 長時日의 實測結果를 必要로 할 것이다.

經驗式의 이러한 短點을 補完할 수 있도록 本論文에서는 軸系의 비틀림 固有振動數를 計算하는데 必要한 크랑크軸의 비틀림 刚性係數의 計算式을 理論的으로 求하고 이 理論式에 依한 軸系의 固有振動數와 經驗式에 依한 固有振動數와의 結果를 比較検討하였다.

2. 크랑크軸系의 單純化

크랑크軸은 彈性과 質量이 連續分布하고 있는 自由度가 無限大인 複雜한 振動體이다. 더욱이 이것을 支持하고 있는 크랑크室도 變形을 일으키며, 直接 크랑크軸을 支持하는 베어링의 支持條件(拘束狀態)의 性質도 極히 複雜하다. 따라서 自由度가 적은 近似系로 置換하기 為해서 크랑크軸系를 다음과 같이 單純化한다.

(1) 비틀림 振動에 있어서는 回轉軸方向의 變形(變位)은 極히 작으며 따라서 여기서는 無視한다. ^{(1)*}

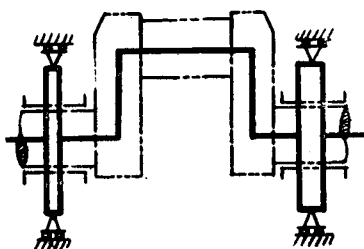


그림 1

* () 안의 數字는 末尾의 參考文獻을 表示한다.

- (2) 且當크軸을 單純支持된 單一 且當크 스로우가 結合된 것으로 假定한다(그림 1 參照).
 (3) 多ス로우의 質量은 저어날에 集中하고, 이 質量은 無質量스프링으로 結合된 質點系로 假定한다.*

3. 影響係數

비틀림振動을 하는 軸系에 있어서는, 그 軸의 剛性係數와 軸周圍의 質量 慣性 모우먼트를 알면, 이系의 비틀림 固有振動數를 求할 수 있다. 비틀림 剛性係數란 單位角의 變位를 주는데 必要한 토크를 말한다. 一般的으로 剛性係數를 直接 求하는 것보다 그의 逆數 즉 影響係數를 求한 다음 이로부터 剛性係數를 求하는 것이 容易하다.

本節에서 設定한 單一 且當크 스로우는 그림 2(a)와 같은 不定靜問題으로 Castigiano의 定理를 利用함으로써 B端에 單位 토크를 加했을 때의 X-軸 끝래의 비틀림角 즉 影響係數 α_θ 를 求할 수 있고, 이로부터 비틀림 剛性係數를 計算할 수 있다.

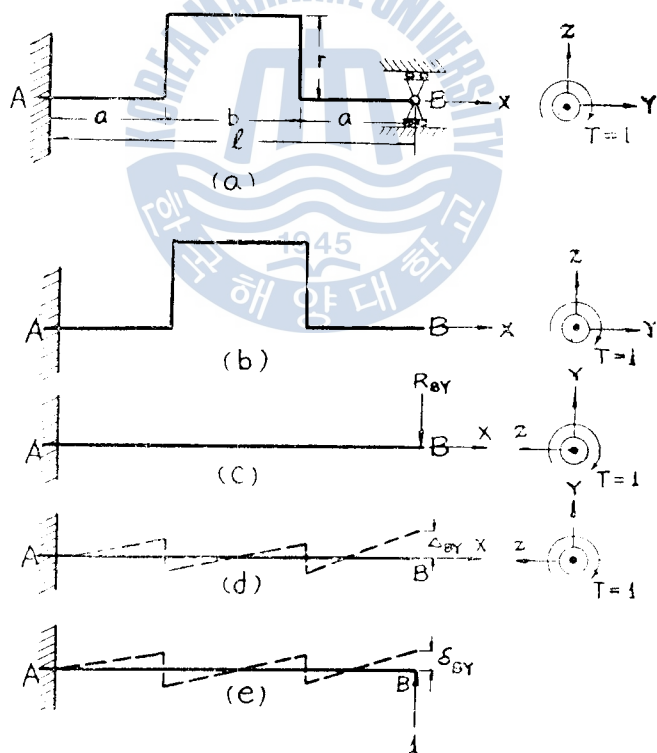


그림 2

* 單一 且當크 스로우系에 있어가는 質量을 且當크 軸에 集中하는 것이 實系에 가깝다만, 그러나 多スロ우系에 있어가는 質量을 且當크 軸에 集中하는 代身에 兩端에 있는 저어날의 中心에 分割集中하는 것으로 看做하더라도 큰 差異가 없다.

單純化한 크랑크軸의 左端을 固定하고 右端을 單純支持한 다음 그림 2(a)와 같이 各記號를 定한다.

只今 α_{00} 를 B 端의 單純支持拘束狀態를 除去한 다음 自由端 B 에 單位 토오크를 加했을 때의 X -軸 물레의 비틀림角 [그림 2(b)], α_{Y0} 를 自由端 B 에 單位 토오크를 加했을 때 B 端을 單純支持했을 때와 같은 狀態로 復舊할 때, B 端에 發生하는 Y -軸에 平行한 反力 R_{BY} 로 因해서 생기는 비틀림角 [그림 2(a), (b), (c)]이라고 하면, 拘束力으로 因하여 비틀림剛性係數는 增加하고¹⁾, 影響係數는 減少한다. B 端에 單位 토오크를 주었을 때 Z -軸에 平行한 反力 R_{BZ} [Appendix I (b) 參照]는 없음으로 單純支持된 B 端에 單位 토오크를 加했을 때 B 端에 생기는 X -軸 물레의 變位 α_θ 는

4. 影響係數의 誘導

α_m, α_n を 誘導하기 为了해서 그림 3과 같이 B 端을 過剩拘束으로 取하고 이것을 除去한다.

Castigliano의 定理에 依하면, 힘(或은 偶力, 토오크)이 作用할때 作用點에서의 作用方向으로의
變位는 그 힘(偶力, 토오크)으로 因해서 發生하는 總內部變形 에너지를 作用하는 힘(偶力, 토
오크)으로 一次遍微分을 함으로써 求을 수 있음으로

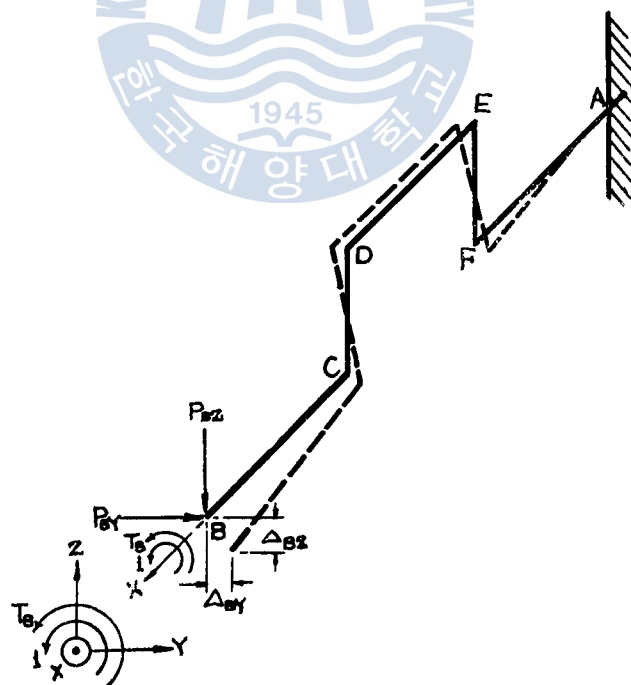


그림 3

$$J = \frac{\partial W}{\partial P}$$

이 때에서 $W = \int_{\text{구간}} \frac{M^2 dx}{2EI}$

$$P = \frac{\partial M}{\partial x}$$

$J = \text{變位}$

이 때

$$W = \int \frac{M^2 dx}{2EI}$$

$$\therefore J = \frac{\partial}{\partial P} \int \frac{M^2 dx}{2EI} = \int M \left(\frac{\partial M}{\partial P} \right) \frac{dx}{EI}$$

같은 방법으로 그림 3의 B端의 X-축 주변에單位 토오크와 假想 토오크 T_B , 그리고 Y-축에平行한假想 힘 P_{BY} 를 加하고, 단위 토오크로因應生기는 X-축 주변의 비틀림각(α_{xy})과 Y-축에平行한變位(J_{BY})을 Castiglano의定理를適用하여求하면 다음과 같다¹⁾.

$$\alpha_{xy} = \int T \left(\frac{\partial T}{\partial T_B} \right) \frac{dx}{GJ} + \int M \left(\frac{\partial M}{\partial T_B} \right) \frac{dx}{EI} \quad \dots \dots \dots (2)$$

$$J_{BY} = \int M \left(\frac{\partial M}{\partial P_{BY}} \right) \frac{dx}{EI} + \int T \left(\frac{\partial T}{\partial P_{BY}} \right) \frac{dx}{GJ} \quad \dots \dots \dots (3)$$

Table 1은自由端 B에單位 토오크,假想 토오크, 그리고假想 힘을加했을 때의各要素에
서의彎曲 모멘트와扭轉矩를表示한다.

Table 1

Section	$x=0$ at increasing	Moment(M)		Torque (T)	$\frac{\partial M}{\partial P_{BZ}}$	$\frac{\partial M}{\partial P_{BY}}$	$\frac{\partial T}{\partial P_{BZ}}$	$\frac{\partial T}{\partial P_{BY}}$	$\frac{\partial M}{\partial T_B}$	$\frac{\partial T}{\partial T_B}$
		P_{BZ}	P_{BY}							
BC	B	$B \rightarrow C$	$P_{BZ}x$	$P_{BY}x$	$T_B + 1$	x	x	0	0	0
CD	C	$C \rightarrow D$	$P_{BZ}a$	$P_{BY}r + (T_B + 1)$	$P_{BY}a$	a	x	0	a	1
DF	D	$D \rightarrow E$	$P_{BZ}(a+x)$	$P_{BY}(a+x)$	$P_{BY}r + (T_B + 1)$	$(a+x)$	$(a+x)$	0	r	0
EF	E	$E \rightarrow F$	$P_{BZ}(a+b)$	$-P_{BY}r - (T_B + 1)$	$P_{BY}(a+b)$	$(a+b)$	$-r$	0	$(a+b)$	-1
FA	F	$F \rightarrow A$	$P_{BZ}(a+b+x)$	$P_{BY}(a+b+x)$	$P_{BY}r + (T_B + 1)$	$(a+b+x)$	$(a+b+x)$	0	r	0

$P_{BZ}=0$, $P_{BY}=0$, $T_B=0$ 으로 놓고 式(2)에 依據하여 積分을 運行하면 α_{xy} 를 얻는다 [Appendix 1 (a) 參照].

$$\alpha_{xy} = \frac{2a}{GJ_1} + \frac{b}{GJ_2} + \frac{2r}{EI_a} \quad \dots \dots \dots (4)$$

여기에 α_{xy}

$$E = \text{線彈性係數}$$

G = 橫彈性係數

J_1, J_2 = 져어널 및 펀의 極慣性모우먼트

I_a = 크랑크 암의 X -軸에 關한 惯性모우먼트

$J_1 = J_2 = J$ 일 경우에는 式(4)는 다음과 같이 簡單化된다.

$$\alpha_{\theta} = \frac{l}{GJ} + \frac{2r}{EI_a} \quad \dots \dots \dots (4')$$

Table 1에서 B 端에 加한 假想힘 P_{BZ}, P_{BY} , 그리고 假想토오크 T_B 를 0 으로 令하고 式(3)에 依據하여 積分을 遂行하면, B 端에서의 Y -軸에 平行한 變位 Δ_{BY} 는 다음과 같다[Appendix I(c) 參照].

$$\Delta_{BY} = -\frac{3r^2}{2EI_a} + \frac{ar}{GJ_1} + \frac{br}{GJ_2} \quad \dots \dots \dots (5)$$

$J_1 = J_2 = J$ 일 경우에는 式(5)는 다음과 같이 된다.

$$\Delta_{BY} = -\frac{3r^2}{2EI_a} + \frac{r}{GJ} (l-a) \quad \dots \dots \dots (5')$$

같은 方法으로 $P_{BY} = 1, P_{BZ} = 0, T_B + 1 = 0$ 을 Table 1에 代入하고 式(3)에 依據하여 積分을 遂行하면, B 端에서 Y -軸에 平行하게 單位힘을 加했을 때의 Y -軸에 平行한 變位 δ_{BY} 를 얻을 수 있다[Appendix-I(d) 參照].

$$\begin{aligned} \delta_{BY} &= \frac{a}{3EI_1} [8a^2 + 3b(l+a)] + \frac{b}{3EI_2} [3a^2 + b(l+a)] \\ &+ \frac{4r^3}{3EI_a} + \frac{r}{GJ_a} (2a^2 + bl) + \frac{ar^2}{GJ_1} + \frac{br^2}{GJ_2} \quad \dots \dots \dots (6) \end{aligned}$$

$I_1 = I_2 = I, J_1 = J_2 = J$ 일 경우에는 式(6)은 다음과 같이 된다.

$$\delta_{BY} = -\frac{1}{3EI} (8a^2 + 6abl + b^2) + \frac{4r^3}{3EI_a} + \frac{r}{GJ_a} (2a^2 + bl) + \frac{r^2}{GJ} (l-a) \quad \dots \dots (6')$$

여기에서

I_1, I_2 = 져어널 및 펀의 斷面의 惯性 모우먼트

$J_a = ct^3w$

t = 암의 軸方向의 두께

w = 암의 幅

$c = w/t$ 에 따라 定해지는 常數^{(4), (5)}

그리고 $\Delta_{BY} + R_{BY} \delta_{BY} = 0$ 임으로 反力 R_{BY} 는 式(5)와 (6)으로부터 다음과 같이 求할 수 있다.

$$R_{BY} = \frac{\Delta_{BY}}{\delta_{BY}} \quad \dots \dots \dots (7)$$

따라서 Table 1에서 B 端에 加한 假想힘과 假想토오크에 $P_{BY} = R_{BY}, T_B + 1 = 0$ 을 代入하고 式(2)에 依據하여 積分을 하면 B 端에 R_{BY} 를 加했을 때 생기는 비틀림角 α_{θ} 를 求할 수 있다.

(Appendix I(c) 參照).

$$\alpha_{ry} = R_{BY} \left(\frac{3r^3}{2EI_a} + \frac{ar}{GJ_1} + \frac{br}{GJ_2} \right) - R_{BY} \cdot J_{BY} = \frac{(J_{BY})^2}{\delta_{BY}} \quad \dots\dots\dots (8)$$

式(1)~式(4), (5), (6), (8)을 代入하면

$$\alpha_{ry} = \left(\frac{2a}{GJ_1} + \frac{b}{GJ_2} + \frac{2r}{EI_a} \right) - \frac{\left(\frac{3r^3}{2EI_a} + \frac{ar}{GJ_1} + \frac{br}{GJ_2} \right)}{\left[\begin{array}{l} 3EI_1 [8a^2 + 3b(l+a)] + 3EI_2 [3a^2 + b(l+a)] \\ + \frac{4r^3}{3EI_a} + \frac{r}{GJ_1} (2a^2 + bl) + \frac{ar^3}{GJ_1} + \frac{br^3}{GJ_2} \end{array} \right]} \dots\dots\dots (9)$$

 $I_1 = I_2 = I, J_1 = J_2 = J$ 的 경우에 는

$$\begin{aligned} \alpha_{ry} &= \left(\frac{l}{GJ} + \frac{2r}{EI_a} \right) \\ &- \frac{\left[\frac{3r^3}{2EI_a} + \frac{r}{GJ} (l-a) \right]}{\left[\begin{array}{l} 3EI [8a^2 + 6a(bl+b^2)] + \frac{4r^3}{3EI_a} + \frac{r}{GJ_a} (2a^2 + bl) + \frac{r^3}{GJ} (l-a) \end{array} \right]} \dots\dots\dots (9') \end{aligned}$$

5. 數值計算

Fig. 4(A), (B), (C), (D), (E)와 Table 2는 各種 機器의 互換性 軸로 우회를 表示한다. 이들 互換性 軸로 우회의 刚性係數의 値을 4節에서 誘導한 理論式으로 求하고 (Appendix II 參照), 이것을 徒來의 經驗式^{(1), (2)}으로 얻은 値과 比較하기 為해서 Table 3에 表示하였다.

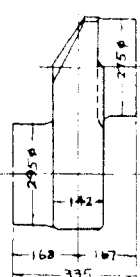


그림 4(A)

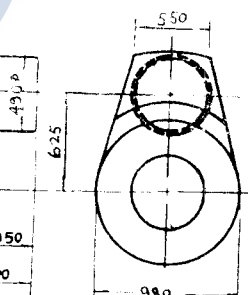
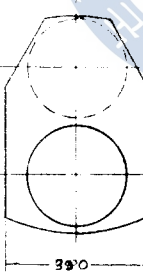


그림 4(B)

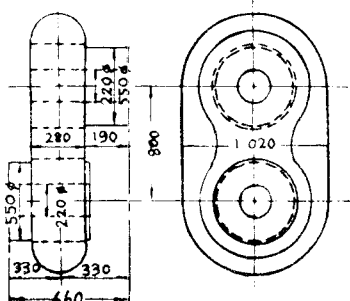


그림 4(C)

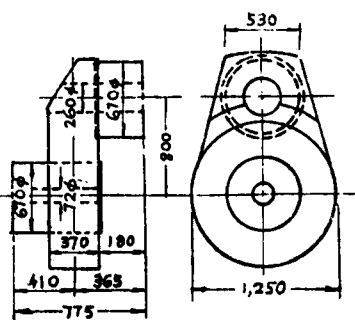


그림 4(D)

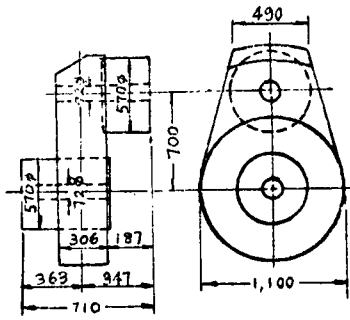


그림 4(E)

크랑크 스로우의 剛性係數는 實測한 資料가 없기 때문에 比較的 信賴할 수 있는 機關의 製作者가 使用한 振動計算時의 痠⁽⁸⁾을 標準值로 使用하였다.

Table 2

Type of Engine	P. S. × rpm	<i>l</i> mm	<i>b</i> mm	<i>a</i> mm	<i>r</i> mm	<i>d</i> ₁ mm		<i>d</i> ₂ mm		<i>w</i> mm	<i>t</i> mm
						outer	inner	outer	inner		
A	1,600×275	670	334	168	310	295		275		390	142
B	6,100×137	1,350	600	375	625	490		490		765	295
C	8,000×110.5	1,350	600	375	800	550	220	550	220	1,000	295
D	12,000×118	1,420	695	362.5	700	570	72	570	72	890	306
E	23,000×115	1,550	730	410	800	670	72	670	260	890	370

Table 3에 依하면 理論式으로 計算한 影響係數는 E 機關을 除外하고는 他經驗式 보다 比較的 製作者의 計算值에 接近하고 있음을 알 수 있다.

6. 實軸系에의 適用

Plate I은 E 機關의 實軸系를 나타내며, Plate II는 이 實軸系의 相當軸系와 彈性曲線을 나타낸다. 理論式으로 計算한 痠과 製作者가 計算한 痠 사이에 가장 差異가 많은 이 E 機關의 軸系에 對한 1,2節 비틀림 固有振動數를 Holzer 法으로 計算하고(Appendix III 參照), 이 理論式에 依한 計算值와 實測值를 Table 4에 表示하였다. 實測值는 (8)에 있는 資料를 引用하였다.

Table 3

	Spring Number	A		B		C		D		E	
		Difference Ratio	Ratio								
Manufacturer's Values		$\times 10^3$		$\times 10^3$		$\times 10^3$		$\times 10^3$		$\times 10^3$	
Timoshenko		13.98	1.00	0.289	1.00	0.181	1.00	0.165	1.00	0.095	1.00
Tuplin		14.34	6.97	1.03	4.3	2.71	6.39	0.94	-6	1.76	0.568×10^3
Carter		14.81	6.75	1.06	4.6	2.61	0.383	0.90	-10	5.73	0.578×10^3
Geiger		13.42	7.45	0.99	-4	2.51	0.398	0.87	-13	1.65	0.605×10^3
Ker Wilson		14.51	6.90	1.04	-4	2.81	0.356	0.97	-3	1.93	0.518×10^3
Mc Ginnis & Lusk		13.56	7.47	0.97	-3	2.65	0.377	0.92	-8	1.60	0.527×10^3
Theoretical Value		14.25	7.02	1.02	+2	2.81	0.360	0.97	-3	1.74	0.585×10^3

I. N. = Influence Number

S. C. = Spring Constant

Diff. = Difference

Table 4

	One Node Vibration		Two Node Vibration	
	Frequency(cpm)	Difference %	Frequency(cpm)	Difference %
Measured Values	376	0	1,017	0
Manufacturer's Values	388.3	+3	1,053.4	+4
Theoretical Values	378	+1	696	-2

Table 4는 理論式에 依해서 計算된 振動數가 製作者에 依해서 計算된 振動數 보다는 實測值에 가깝다는 것을 보여준다.

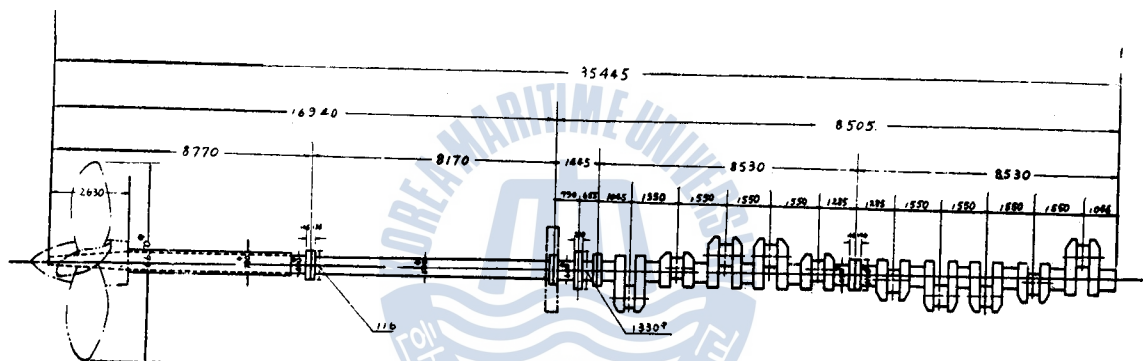
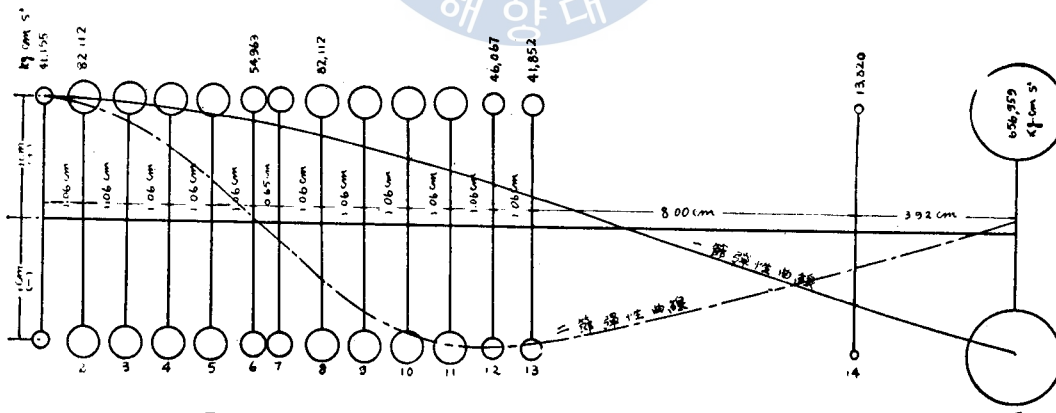


Plate I E 機關의 軸系

Plate II E 機關軸系의 相當軸系 ($GJ=10^{10}$ kg-cm 2 , $r=1$ cm)

7. 結論

Table 3이 보여주듯 理論式으로 計算한 數值은 他經驗式에 比해 가장 信賴할 수 있는 製作者의 計算值에 보다 가까움을 알수 있다. 또한 製作者의 計算值와 가장 差率이 많은 機關에 있

理論式와 경험식과는 DIESSEL기관의 회전수와 힘의 계수를 계산하는 계산식은 다음과 같다.
이제는 구조물에 적용되는 힘의 계수와 계산하는 계수를 계산하는 계산식은 다음과 같다.

기본원칙은 본래 기관의 기관식에 적용되는 원칙과 동일한 원칙이다. 그러나 기관식은 기관의 구조계통에 적용되는 원칙과는 다른 원칙이다.

기본원칙은 기관식에 적용되는 원칙과 동일한 원칙이다. 그러나 기관식은 기관의 구조계통에 적용되는 원칙과는 다른 원칙이다. 그러나 기관식은 기관의 구조계통에 적용되는 원칙과는 다른 원칙이다.

参考文献

- (1) 八田桂二, 長沼鼎, “内燃機関ハンドブック,” 初倉書店, 1963, 3版, p-311
- (2) 舟田公一, “機械力学”, 山海堂, 1958, 初版, p-43
- (3) Den Hartog, “Mechanical Vibration”, McGraw-Hill, 1956, 4th Ed., p-185
- (4) J.S. Kinnedy, “Indeterminate Structure Analysis”, Addison-Wesley, 1957, Abridged Ed., Chap. 4
- (5) Timoshenko, MacCullough, “Elements of Strength of Materials”, D. Van Nostrand, 1949, 3rd Ed., Chap. IX.
- (6) 富山修, “内燃機関の振動と疲労強度”, 球風社, 1956, 初版, Chap. I
- (7) 手嶋昇, “船舶用機関の振動と強度”, 海文堂, 1961, Chap. I
- (8) 佐孝重, “船舶内燃機関工機之二 軸系総括法(連成運動), その基礎と解説(研究)” 重慶工業文庫論集, 第5編, 1971

Appendix I

理論式的誘導

(a) 單位 토옹크로 因한 비틀림각 α_{un}

Table 1에 제시된 B에 加한 假想荷 P_{bx} , P_{bz} , 以及加 $\text{假想荷} \gamma_{\text{un}}$ ($T_u = 0.01\pi, \omega_u = 100\text{rad/s}$)에 根據하여 結果를 하면

$$\begin{aligned} \alpha_{\text{un}} &= \int_T \left(\frac{\delta T}{\delta T_u} \right) \frac{dx}{GJ} + \int_M \left(\frac{\delta M}{\delta T_u} \right) \frac{dx}{EI} \\ &= \int_a^c \frac{dx}{GJ} + \int_b^c \frac{dx}{GJ} + \int_a^b \frac{dx}{GJ} + \int_c^b \frac{dx}{EI} + \int_c^b \frac{dx}{EI} \\ &= \frac{1}{GJ} \int_a^c x^{\frac{n}{2}-1} dx + \frac{1}{GJ} \int_b^c x^{\frac{n}{2}-1} dx + \frac{1}{GJ_a} \int_a^b x^{\frac{n}{2}-1} dx + \frac{1}{EI_a} \int_a^c x^{\frac{n}{2}-2} dx + \frac{1}{EI_a} \int_c^b x^{\frac{n}{2}-2} dx \\ &= \frac{2a}{GJ} - \frac{b}{GJ} + \frac{2r}{EI_a}(4) \end{aligned}$$

(b) Z 軸에 平行한 反力(R_{bx})

Table 1에 제시된 B에 加한 假想荷 P_{bx} , P_{bz} , 以及加 $\text{假想荷} \gamma_{\text{un}}$ ($T_u = 0.01\pi, \omega_u = 100\text{rad/s}$)에 根據하여 結果를 하면, 自由端 B에 加한 $\text{假想荷} \gamma_{\text{un}}$ 에 Z軸에 平行한 R_{bx} 가 下에 주어진다.

$$\Delta_{BZ} = \int M \left(\frac{\partial M}{\partial P_{BZ}} \right) \frac{dx}{EI} + \int T \left(\frac{\partial T}{\partial P_{BZ}} \right) \frac{dx}{GJ} = 0$$

그러면

$$\Delta_{BZ} + R_{BZ}\delta_{BZ} = 0 \quad \text{이므로}$$

$$R_{BZ} = 0$$

(C) 單位토오크로 因해서 생기는 Y-軸方向의 變位(Δ_{BY})

Table 1에서 自由端 B에 加한 假想힘 P_{BY} , P_{BZ} 와 假想토오크 T_B 를 0 으로 놓고 式(3)에 依據하여 積分을 하면, 自由端 B에 單位토오크를 加했을 때의 Y-軸에 平行한 變位 Δ_{BY} 를 求할 수 있다.

$$\begin{aligned} \Delta_{BY} &= \int M \left(\frac{\partial M}{\partial P_{BY}} \right) \frac{dx}{EI} + \int T \left(\frac{\partial T}{\partial P_{BY}} \right) \frac{dx}{GJ} \\ &= \int_c^D x \frac{dx}{EI} + r \int_e^F \frac{dx}{EI} + r \int_d^E \frac{dx}{GJ} + r \int_f^A \frac{dx}{GJ} \\ &= \frac{1}{EI_a} \left[\frac{x^2}{2} \right]_o^r + \frac{r}{EI_a} [x]_o^r + \frac{r}{GJ_a} [x]_o^b + \frac{r}{GJ_1} [x]_o^a \\ &= \frac{3r^2}{2EI_a} + \frac{ar}{GJ_1} + \frac{br}{GJ_a} \end{aligned} \quad (5)$$

(d) 單位힘으로 因한 變位(δ_{BY})

自由端 B에 Y-軸에 平行한 單位힘을 加했을 때의 Y-軸에 平行한 變位(δ_{BY})는 Table 1의 假想힘과 假想토오크에 $P_{BY}=1$, $T_B+1=0$ 을 代入하고 式(3)에 依據하여 積分을 하면 求할 수 있다.

$$\begin{aligned} \delta_{BY} &= \int M \left(\frac{\partial M}{\partial P_{BY}} \right) \frac{dx}{EI} + \int T \left(\frac{\partial T}{\partial P_{BY}} \right) \frac{dx}{GJ} \\ &= \int_b^c x^2 \frac{dx}{EI} + \int_c^D x^2 \frac{dx}{EI} + \int_d^E (a+x)^2 \frac{dx}{EI} + r^2 \int_e^F \frac{dx}{EI} + \int_f^A (a+b+x)^2 \frac{dx}{EI} \\ &\quad + a^2 \int_c^D \frac{dx}{GJ} + r^2 \int_d^E \frac{dx}{GJ} + (a+b)^2 \int_e^F \frac{dx}{GJ} + r^2 \int_f^A \frac{dx}{GJ} \\ &= \frac{1}{EI} \left[\frac{x^3}{3} \right]_o^a + \frac{1}{EI} \left[\frac{x^3}{3} \right]_o^r + \frac{1}{EI_1} \left[a^2 x + ax^2 + \frac{x^3}{3} \right]_o^b + \frac{r^2}{EI_a} [x]_o^r \\ &\quad + \frac{1}{EI} \left[(a+b)^2 x + (a+b)x^2 + \frac{x^3}{3} \right]_o^r + \frac{a^2}{GJ_a} [x]_o^r + \frac{r^2}{GJ_1} [x]_o^b \\ &\quad + \frac{1}{GJ_a} (a+b)^2 [x]_o^r + \frac{r^2}{GJ_1} [x]_o^b \\ &= \frac{a}{3EI_1} (8a^2 + 9ab + 3b^2) + \frac{4r^3}{3EI_a} + \frac{b}{3EI_1} (3a^2 + 3ab + b^2) \\ &\quad + \frac{r}{GJ_a} (2a^2 + 2ab + b^2) + \frac{ar^2}{GJ_1} + \frac{br^2}{GJ_1} \\ &= \frac{a}{3EI_1} [8a^2 + 3b(l+a)] + \frac{b}{3EI_1} [3a^2 + b(l+a)] + \frac{4r^3}{3EI_a} \\ &\quad + \frac{r}{GJ_a} (2a^2 + bl) + \frac{ar^2}{GJ_1} + \frac{br^2}{GJ_1} \end{aligned} \quad (6)$$

(e) 反力 R_{BY} 로 因한 비틀림角(α_{yy})

같은 方法으로 Table 1에서 B端에 加한 假想荷重 假想荷重에 $P_{BY} = R_{BY}$, $T_B + 1 = 0$ 을 대입하고 式(2)에 依據 構分을 하면 B端에 R_{BY} 를 加했을 때 生成する 開始轉角 α_{BY} 를 求할 수 있다.

$$\begin{aligned}\alpha_{BY} &= \int T\left(\frac{\partial T}{\partial T_B}\right) \frac{dx}{GJ} + \int M\left(\frac{\partial M}{\partial T_B}\right) \frac{dx}{EI} \\ &= R_{BY} r \int_a^b \frac{dx}{GJ} + R_{BY} r \int_a^b \frac{dx}{GJ} + R_{BY} \int_c^d x \frac{dx}{EI} + R_{BY} r \int_e^f \frac{dx}{EI} \\ &= R_{BY} \left\{ \frac{r}{GJ} \left[x \right]_a^b + \frac{r}{GJ} \left[x \right]_a^b + \frac{1}{EI_a} \left[\frac{x^2}{2} \right]_c^d + \frac{r}{EI_a} \left[x \right]_e^f \right\} \\ &= R_{BY} \left(\frac{3r^2}{2EI_a} + \frac{ar}{GJ} + \frac{br}{GJ} \right) \quad \dots \dots \dots (8)\end{aligned}$$

上式의 括弧내는 B端에 依한 Y-軸方向으로 單位荷重을 加했을 때의 B端에 依한 開始轉角를 依로 Maxwell-Betti의 相互定理에 依據, 이 量은 B端에서 X-軸開口의 單位荷重을 加했을 때의 Y-軸方向의 開始轉角 式(5)의 J_{BY} 와 同じ야 함으로, 여기에 依로 Maxwell-Betti의 相互定理가 有證했다.

Appendix II

C機關의 크랑크 스로우에 對한 刚性係數의 計算例

$$\begin{array}{ll} a = 33.0 \text{ cm} & t = 28.0 \text{ cm} \\ b = 66.0 \text{ cm} & w = 105.0 \text{ cm} \\ r = 80.0 \text{ cm} & G = 8.3 \times 10^5 \text{ kg/cm}^2 \\ l = 132.0 \text{ cm} & E = 2.1 \times 10^5 \text{ kg/cm}^2 \end{array}$$

$$\begin{aligned}J &= \frac{\pi \{(55)^4 - (22)^4\}}{32} = 0.87 \times 10^5 \text{ cm}^4 \\ I &= \frac{J}{2} = 0.44 \times 10^5 \text{ cm}^4 \\ J_a &= \frac{tw^3}{12} = \frac{28 \times (105)^3}{12} = 2.71 \times 10^6 \text{ cm}^4 \\ J_a &= ct^3w = 0.277 \times (28)^3 \times 105 = 0.64 \times 10^6 \text{ cm}^4 \\ \alpha_{BY} &= \frac{l}{GJ} + \frac{2r}{EI_a} = \frac{135}{8.3 \times 10^5 \times 0.87 \times 10^5} + \frac{2 \times 80}{2.1 \times 10^5 \times 2.46 \times 10^5} \\ &= 2.175 \times 10^{-3} \text{ rad/kg-cm},\end{aligned}$$

$$\begin{aligned}J_{BY} &= \frac{3r^3}{2EI_a} + \frac{r}{GJ}(l-a) \\ &= \frac{3 \times (80)^3}{2 \times 2.1 \times 10^5 \times 2.46 \times 10^5} + \frac{80}{8.3 \times 10^5 \times 0.87 \times 10^5} \quad (135-37.5) \\ &= 1.266 \times 10^{-8} \text{ cm/kg-cm}\end{aligned}$$

$$(J_{BY})^2 = 1.6 \times 10^{-16}$$

$$\delta_{BY} = \frac{1}{3EI_a} [8a^3 + 6abl + b^3] + \frac{4r^3}{3EI_a} + \frac{r}{GJ_a} [2a^3 + bl^3] + \frac{r^3}{GJ} [l-a]^3$$

(14)

韓國海洋大學 大學院 論文集 第 1 輯

$$\begin{aligned} &= \frac{1}{3 \times 2.1 \times 10^5 \times 0.44 \times 10^6} [8 \times (37.5)^3 + 6 \times 37.5 \times 60 \times 135 - (60)^3] \\ &\quad + \frac{4 \times (80)^3}{3 \times 2.1 \times 10^5 \times 2.46 \times 10^6} + \frac{80}{8.3 \times 10^5 \times 0.69 \times 10^6} [2 \times (37.5)^3 + 60 \times 135] \\ &\quad + \frac{(80)^2}{8.3 \times 10^5 \times 0.87 \times 10^6} (135 - 37.5) = 3.40 \times 10^{-6} \text{ cm/kg} \\ \alpha_{r\theta} &= \frac{(\Delta_{BZ})^2}{\delta_{BZ}} = \frac{1.6 \times 10^{-16}}{3.40 \times 10^{-6}} = 0.47 \times 10^{-10} \text{ rad/kg-cm} \\ \alpha_\theta &= \alpha_{r\theta} - \alpha_{r\theta} = (2.175 - 0.47) \times 10^{-10} = 1.71 \times 10^{-10} \text{ rad/kg} \cdot \text{cm} \\ \kappa &= \frac{1}{\alpha_\theta} = 0.585 \times 10^{10} \text{ kg-cm/rad} \end{aligned}$$



Appendix III

Holzer 法에 依한 비僵硬 固有振動數計算例

a) 1 節 振動

No. of Mass	m	$m\dot{q}^*\theta$	θ	$m\dot{q}^*\theta$	$\Sigma m\dot{q}^*\theta$	I	$I\Sigma m\dot{q}^*\theta / GJ$
1	41,155	6.45	1.0000	6.45	6.45	1.06	0.0063
2	82,112	12.90	0.9932	12.80	19.25	1.06	0.0204
3	82,112	12.90	0.9728	12.54	31.79	1.06	0.0337
4	82,112	12.90	0.9391	12.10	43.89	1.06	0.0466
5	82,112	12.90	0.8925	11.50	55.39	1.06	0.0588
6	54,963	8.63	0.8337	7.20	62.59	0.65	0.0407
7	54,963	8.63	0.7930	6.86	69.45	1.06	0.0736
8	82,112	12.90	0.7194	9.28	78.73	1.06	0.0835
9	82,112	12.90	0.6359	8.20	86.93	1.06	0.0921
10	82,112	12.90	0.5438	7.02	93.95	1.06	0.0995
11	82,112	12.90	0.4443	5.74	99.69	1.06	0.1057
12	46,067	7.23	0.3386	2.45	102.11	0.95	0.0971
13	41,852	6.58	0.2414	1.59	103.73	8.70	0.8300
14	13,820	2.17	-0.5886	-1.28	102.15	3.92	0.4030
15	656,959	103.00	-0.9916	-102.00	0.45		

b) 2 節 振動

$$N=996 \text{ cpm}, \quad \omega = \frac{N}{9.55} = \frac{996}{9.55} = 104.3$$

$$q^2 = r^2 \omega^2 = 10,900, \quad r = 1 \text{ cm}, \quad GJ = 10^{10} \text{ kg-cm}^2$$

No. of Mass	m	mq^2	θ	$mq^2\theta$	$\Sigma mq^2\theta$	l	$\frac{l\Sigma mq^2\theta}{GJ}$
1	41,155	$\times 10^8$ 4.48	1.0000	$\times 10^8$ 4.48	$\times 10^8$ 4.48	1.06	0.0475
2	82,112	8.95	0.9525	8.52	13.00	1.06	0.1377
3	82,112	8.95	0.8148	7.28	20.28	1.06	0.2150
4	82,112	8.95	0.5998	5.37	25.65	1.06	0.2720
5	82,112	8.95	0.3278	2.93	28.58	1.06	0.3025
6	54,963	5.99	0.0253	0.15	28.73	0.65	0.1870
7	54,963	5.99	-0.1617	-0.97	27.76	1.06	0.2940
8	82,112	8.95	-0.4557	-4.07	23.69	1.06	0.2510
9	82,112	8.95	-0.7067	-6.32	17.37	1.06	0.1840
10	82,112	8.95	-0.8907	-7.97	9.40	1.06	0.0998
11	82,112	8.95	-0.9905	-8.87	0.53	1.06	0.0056
12	46,067	5.02	-0.9961	-5.00	-4.47	0.95	-0.0425
13	41,852	4.57	-0.9536	-4.35	-8.82	8.00	-0.7050
14	13,820	1.51	-0.2486	-0.38	-9.20	3.92	-0.3610
15	656,959	71.60	+0.1124	8.06	-1.14		